

北大工 学生員 高橋 義裕
 北大工 正員 能町 純雄
 北大工 正員 角田 与史雄

1. まえがき

補剛材を有する補剛版構造は、橋梁、水門などの土木構造物のはか船舶、航空機、鉄骨構造のデッキプレートなどの広い分野に応用され効果を上げている。この様な構造物は、格子型モデルまたは、直交異方性版型モデルにモデル化し解析が行なわれている。本論文では、鋼床版のデッキプレートと閉縫リブに折板構造解析を適用し、鋼床版の構造特性を知ろうとするものである。また、横リブ区間及び縦リブ区間に無限に小さくしていった場合どの様な微分方程式になるか検討した。

2. 解析方法

図-1に示されている鋼床版に対し、横リブ区間でとり出し図-2で示される力及び曲げモーメントを文献⁽¹⁾⁽²⁾を参照し求める。次に各接合線での力のフリーアイをしと次の様になる。
 2r接合線に沿う力のフリーアイ；

$$M_{2r,2r+1} + M_{2r,2r-1} + M_{2r,2r'} = 0 \quad (1)$$

$$T_{2r,2r+1} + T_{2r,2r-1} + T_{2r,2r'} = 0 \quad (2)$$

$$S_{2r,2r+1} - S_{2r,2r-1} + S_{2r,2r'} \sin\alpha - X_{2r,2r'} \cos\alpha = 0 \quad (3)$$

$$X_{2r,2r+1} - X_{2r,2r-1} + X_{2r,2r'} \sin\alpha + S_{2r,2r'} \cos\alpha + P_{2r} = 0 \quad (4)$$

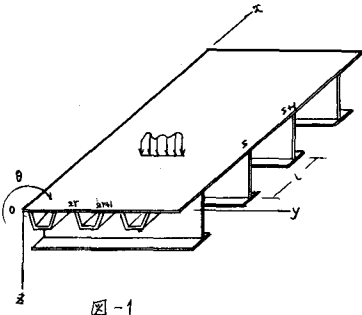


図-1

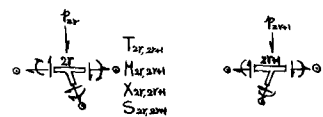


図-2

同様にして $2r+1, 2r', 2r'+1$ の各接合線に沿っての関係式も得られる。次に θ, u, v, w を横リブ区間で次の様に仮定し

$$\theta = \theta_s(1-\eta) + \theta_{s+1}\eta \quad (5), \quad u = u_s(1-\eta) + u_{s+1}\eta \quad (6), \quad v = v_s(1-\eta) + v_{s+1}\eta \quad (7)$$

$$w = w_s f_1(\eta) + w_{s+1} f_2(\eta) + \bar{w}_s f_3(\eta) + \bar{w}_{s+1} f_4(\eta) \quad (8)$$

ただし

$$\eta = \frac{x}{l}, \quad f_1(\eta) = 1 - 3\eta^2 + 2\eta^3, \quad f_2(\eta) = 3\eta^2 - 2\eta^3, \quad f_3(\eta) = l(1 - 2\eta^2 + \eta^3) \\ f_4(\eta) = l(-\eta^2 + \eta^3), \quad \bar{w} = \frac{\partial w}{\partial x}$$

(1)～(4)の各式に Galerkin 法を適用し横リブ区間端での断面力を求め横リブとの力のフリーアイをとる。横リブと縦リブとの接合部は、図-3の様にモデル化した。得られる偏差分方程式は、次の様になる。式は合計20本できるから本のみ示す。(係数の具体的な形は、省略する)

$$a_{11} \nabla \theta_{r,s} + a_{12} \nabla U_{r,s} + a_{14} \nabla W_{r,s} + a_{15} \nabla \bar{W}_{r,s} + a_{16} \Delta \theta_{r,s} + a_{19} \Delta W_{r,s} + a_{1,10} \Delta \bar{W}_{r,s}$$

$$+ a_{1,11} \nabla \theta_{r',s} + a_{1,13} \nabla U_{r',s} + a_{1,19} \Delta W_{r',s} + a_{1,20} \Delta \bar{W}_{r',s} = 0 \quad (9)$$

$$a_{22} \nabla U_{r,s} + a_{23} \nabla V_{r,s} + a_{24} \nabla W_{r,s} + a_{25} \nabla \bar{W}_{r,s} + a_{27} \Delta U_{r,s} + a_{28} \Delta V_{r,s} + a_{2,12} \nabla U_{r,s}$$

$$+ a_{2,14} \nabla W_{r,s} + a_{2,15} \nabla \bar{W}_{r,s} + a_{2,18} \Delta U_{r,s} = 0 \quad (10)$$

$$a_{31} \nabla \theta_{r,s} + a_{32} \nabla U_{r,s} + a_{33} \nabla V_{r,s} + a_{37} \Delta U_{r,s} + a_{58} \Delta V_{r,s} + a_{39} \Delta W_{r,s} + a_{3,10} \Delta \bar{W}_{r,s}$$

$$+ a_{3,11} \nabla \theta_{r',s} + a_{3,13} \nabla U_{r',s} + a_{3,17} \Delta U_{r',s} + a_{3,19} \Delta W_{r',s} + a_{3,20} \Delta \bar{W}_{r',s} = 0 \quad (11)$$

図-3

ただし $f_{2r+1} = f_{2r+1} + f_{2r}$

$$\Delta f_{2r} = f_{2r+1} - f_{2r}$$

$$a_{41} \nabla \theta_{rs} + a_{42} \nabla U_{rs} + a_{44} \nabla W_{rs} + a_{45} \nabla \bar{W}_{rs} + a_{46} \Delta \theta_{rs} + a_{48} \Delta U_{rs} + a_{49} \Delta W_{rs} + a_{410} \Delta \bar{W}_{rs} \\ + a_{412} \nabla U_{rs} + a_{414} \nabla W_{rs} + a_{415} \nabla \bar{W}_{rs} + a_{416} \Delta \theta_{rs} + a_{418} \Delta U_{rs} + a_{419} \Delta W_{rs} = \nabla \bar{\theta}_r \quad (12)$$

$$a_{51} \nabla \theta_{rs} + a_{52} \nabla U_{rs} + a_{54} \nabla W_{rs} + a_{55} \nabla \bar{W}_{rs} + a_{56} \Delta \theta_{rs} + a_{58} \Delta U_{rs} + a_{59} \Delta W_{rs} + a_{510} \Delta \bar{W}_{rs} \\ + a_{512} \nabla U_{rs} + a_{514} \nabla W_{rs} + a_{515} \nabla \bar{W}_{rs} + a_{516} \Delta \theta_{rs} + a_{518} \Delta U_{rs} = 0 \quad (13)$$

以上得られた20本の偏差分方程式にフーリエ変換を行ない U, V, W, θ を求める。

3. 微分方程式へのおきかえ

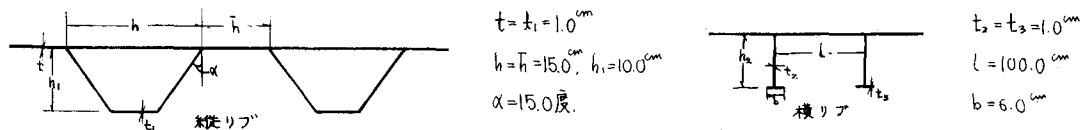
今、横リブ区間及び開リブ区間を無限小とした場合どの様な方程式になるか検討する。得られた偏差分方程式に対し、差分を平均化し、微分値におきかえることにより次に示される等価な微分方程式が得られる。

$$A \frac{\partial^4 w}{\partial x^4} + B \frac{\partial^4 w}{\partial x^2 \partial y^2} + C \frac{\partial^4 w}{\partial x^2 \partial z^2} + D \frac{\partial^4 w}{\partial y^4} = 0 \quad (14)$$

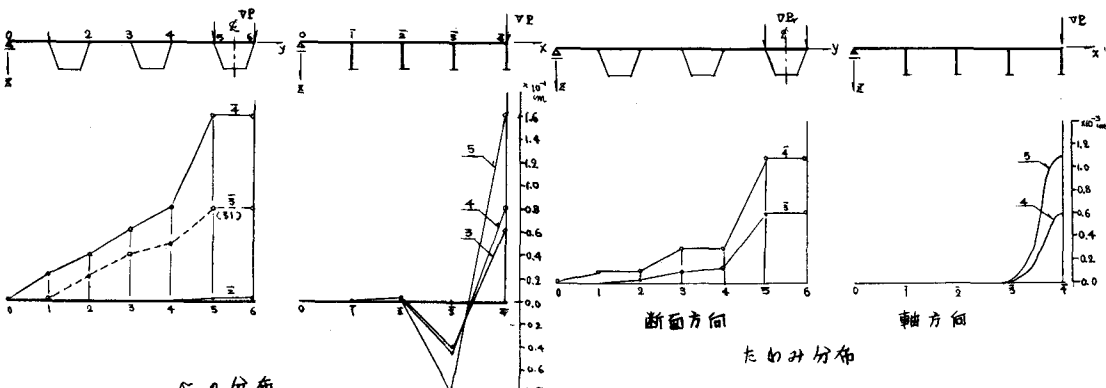
係数 A, B, C, D は、与えられた構造物の断面形状や寸法のパラメータにより決定される。一般には、平板のためみ w の満たすべき微分方程式として4階の微分方程式が用いられているため一辺につき2個の境界条件が付せられるとき解は、一義的に決定されるかそれ以上の境界条件が与えられるときは、決定できない。しかし、(14)式で示される微分方程式を用いる事により、たとえば自由端にあける2つの境界条件式をそのまま用いても解けを決定することができる。従って(14)式は、より精度よく開リブ鋼床版を表現する直交異方性版の方程式といふ事ができる。

4. 数値計算例

断面形状として次の量を用いた。境界条件は、周辺単純支持とした。



$E = 2.1 \times 10^6 \text{ kg/cm}^2, \nu = 0.3$. 縦リブ5本、横リブ7本、中央集中荷重 $\nabla P = 1.0 \text{ t}$



5. あとかき

以上開リブと比較的密に横リブを有する鋼床版について折板理論から理論式を導き数値計算例により応力、変位を求め、その構造特性を調べた。数値計算の結果載荷点隣の横リブブリッキアート上に軸方向の引張応力が発生している。また、たわみ w は、載荷点を離れるほど急激に減少している。区間長を無限小にして、基本微分方程式を求めた所6階の微分方程式になることをかわり理論式を検討する事ができる。

参考文献 1). 高橋、能町、角田；土木学会第1回国学術講演集 I-106 (1976)

2). 能町、大島；土木学会北海道支部論文報告集 (1976-2)